STABILISATION D'OZONIDES DU PHOSPHORE

M. KOENIG*, F. EL KHATIB, A. MUNOZ et R. WOLF

E.R.A. du C.N.R.S. N° 926, Université Paul Sabatier, 31 062 Toulouse Cédex, FRANCE.

Summ.ary

We have obtained phosphorus ozonides (3b, 4b] and 5b) in which phosphorus atom is hexacoordinated. In solution, these adducts are more stable than pentacovalent phosphorus homologs $(\Delta G^{X} = 23 \text{ kcal.mole}^{-1} \text{ for } 4b)$

On sait depuis 1961 (1) que les pnosphites réagissent sur l'ozone pour conduire à des phosphoranes comportant le cycle trioxophosphétane $\Rightarrow P < 0 > 0$. Ces phosphoranes peu stables se décomposent à basse température en donnant l'ester phosphorique correspondant et de l'oxygène singulet $^1\Delta_g$ (2) utilisable pour l'oxydation de substrats variés (3-4). Dans ce travail nous avons cherché à accroître la stabilité des ozonides phosphorés en utilisant les propriétés acide de Lewis de l'atome de phosphore pentacoordiné (5).

Résultats et discussion

Nous avons fait réagir à basse température (-70 °C) en solution dans CH_2Cl_2 ou le DMF, les phosphites $\frac{1a-5a}{2}$ sur un courant d'oxygène enrichi en ozone (56 mg/1) et suivi la réaction par RMN $\frac{31}{P}$.

Nous avons répété la synthèse de l'ozonide $\underline{1b}$ et cherché à le stabiliser en présence d'une base : la pyridine. Nous n'avons pas observé de modification du $\delta^{31}P$ de $\underline{1b}$ (δ = -63) ni apparition d'un nouveau signal pouvant correspondre à la formation d'un complexe du phosphore hexacoordiné et ceci même à -90 °C. Contrairement à l'effet recherché l'ozonide $\underline{1b}$ parait moins stable en présence de pyridine, ce qui rejoint les résultats récents obtenus par Bartlett (6).

L'ozonation du substrat $\underline{2a}$ à basse température provoque dans le spectre la disparition totale de son signal à δ = 127et l'apparition d'un signal intense à δ =-38 correspondant à 2b.

Dans les mêmes conditions, l'ozonation des substrats $\underline{3a}$, $\underline{4a}$ et $\underline{5a}$ entraine la formation des adduits $\underline{3b}$, $\underline{4b}$, $\underline{5b}$ dont les $\delta^{31}P$ sont respectivement -123, -103 et -93 (cf. tableau I).

Du fait de la grande réactivité de l'ozone, de nombreuses possibilités réactionnelles apparaissent, en particulier sur les deux sites basiques concurrents P et N dans les substrats de départ 3a-5a

De plus si l'on compare les déplacements chimiques de $\underline{4b}$ (-102) et $\underline{5b}$ (-93) on constate que la présence d'un substituant méthyle en position 2 sur le reste hydroxyquinoléine se traduit par une variation du $\delta^{31}P$ de 9 ppm. Ce fait avait déjà été observé dans la coordinence 6 du phosphore (5) avec ce même ligand.

Stabilité

(

L'ozonide $\underline{4b}$ préparé dans CH_2Cl_2 est obtenu après élimination du solvant à basse température sous forme d'une poudre jaunâtre. Celui-ci est stable à basse température (-20 °C); par contre il explose à température ordinaire même sous atmosphère inerte. L'explosion est immédiate à l'air libre.

En solution, les ozonides 3b-5b perdent leur caractère explosif et peuvent être chauffés jusqu'à 80-90 °C dans le DMF. Lors du chauffage ils se décomposent de façon contrôlée suivant la réaction (II)

(II)
$$\begin{array}{c} R_1 & 0 & 0 \\ R_2 & 0 & 0 \\ \hline & & & \\ & &$$

Comme la formation de l'ester phosphorique correspondant est observable en RMN (voir tableau I), nous avons pu déterminer la constante de vitesse de décomposition de $\frac{4b}{4}$ dans le DMF à 40 °C. Le tracé $\text{Ln}(\text{conc}) \sim f(t)$ est une droite (fig. I) dont la pente $k = 6.2 \ 10^{-4} \ \text{s}^{-1}$ correspond à une enthalpie libre d'activation $\Delta G^{\frac{*}{4}} = 23 \ \text{kcal.mole}^{-1}$. Cette valeur est la plus élevée de toutes celles qui ont été déterminées lors de la décomposition des ozonides à phosphore pentacovalent (tableau II)

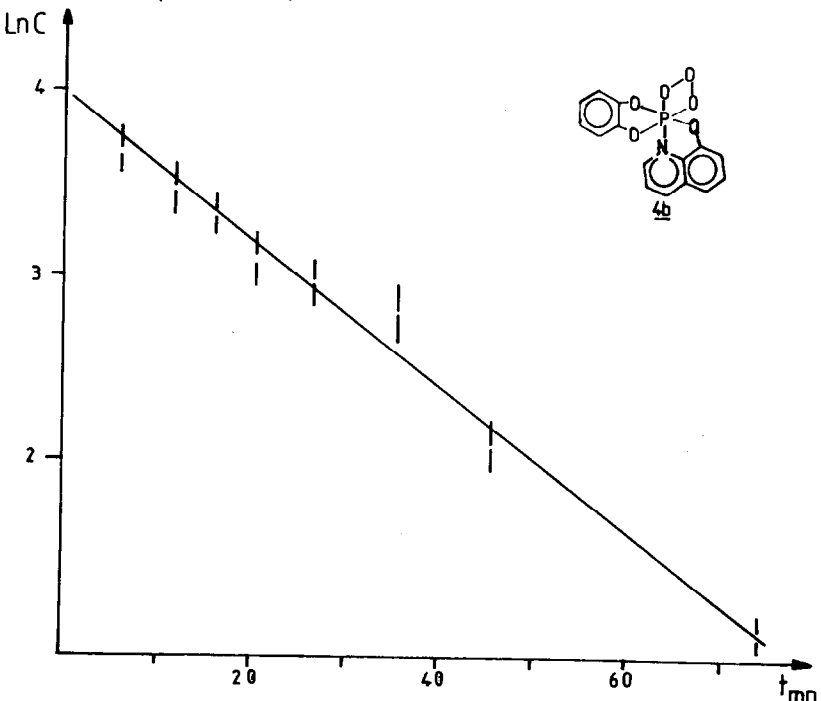


Fig. I : Graphe de la variation de concentration de $\underline{4b}$ en fonction du temps à 40 °C dans le DMF.

		8 *P		
N°	Substituants	<u>a</u> R ₄ R ₂ P: R ₃	$ \begin{array}{c c} \underline{b} \\ R_1 \\ R_2 \\ R_3 \end{array} $	R. C.
1	R _{1 =} R _{2 =} R ₃ = OPh	127	- 63	- 18
2	$\begin{array}{ccc} R_1 & R_2 & = & 0 \\ R_3 & = & 0 Ph \end{array}$	127	- 37	6
3	$R_1 = R_2 = OPh$ $R_3 = OPh$	125	-123	-18
4	$R_1 R_2 = 0$ 0 $R_3 = 0$	124	- 102	6
5	$R_1 R_2 = 0$ $R_3 = 0$ CH_3	125	- 93	6

Tableau II : Paramètres RMN 31P des composés étudiés

Le changement de δ^{31} P entre le substrat de départ et le produit d'addition démontre de façon univoque la fixation de deux atomes d'oxygène sur l'atome de phosphore conduisant au cycle trioxaphosphétane. Les valeurs de ces paramètres correspondent à une structure phosphoranique pour $\underline{1b}$ et $\underline{2b}$ et à phosphore hexacoordiné pour $\underline{3b}$, $\underline{4b}$ et $\underline{5b}$. Les valeurs que nous avons observées sur des composés de même environnement immédiat autour du phosphore confirment ce résultat (5). La formation du cycle trioxophosphétane par addition oxydante de 0_3 sur les phosphites provoque le passage à la coordinence cinq (cas de $\underline{1b}$ et $\underline{2b}$) tandis que la complexation intramoléculaire par le reste hydroxyquinolèine conduit finalement à la coordinence six (réaction I).

$$(I) \qquad \stackrel{R_1}{\underset{R_2}{\overset{P}{\longrightarrow}}} \stackrel{0}{\underset{N}{\longrightarrow}} \qquad + \qquad 0_3 \xrightarrow{-70^{\circ}C} \qquad \left[\begin{matrix} R_1 & P & 0 \\ R_2 & P & 0 \\ R_2 & N \end{matrix} \right] \qquad \stackrel{R_1}{\underset{N}{\longrightarrow}} \stackrel{0}{\underset{N}{\longrightarrow}} \qquad 0$$
3a-5a

Comme nous avons à chaque fois opéré en faisant réagir des quantités stoechiométriques d^3 , nous pouvons écarter la formation d'un adduit du type $\underline{6}$ qui nécessite l'utilisation d'au moins deux équivalents d^3 .

composés	T°c	‡ · ∆G kcal mole	Re f.
Ph 0 Ph 0 Ph 0	-5	18,2	7
0 0 0	+ 9	20,3	8
	. 10	21, ₅	9
	+ 40	23	Ce travail

Tableau II : Valeurs comparées des stabilités d'ozonides du phosphore.

Dans les mêmes conditions que précédemment nous avons tenté d'obtenir des ozonides du phosphore hexacoordiné à partir des substrats 7 et 8



Dans chacun des cas nous n'avons pu observer à -70 °C que la formation du phosphonate ou de l'ester phosphorique correspondant (δ = + 19 pour $\overline{2}$ et δ = -2,5 pour $\underline{8}$).

Remerciements.

Nous remerçions le Professeur J. Sotiropoulos pour nous avoir accueilli et aidé dans ce travail ainsi que MM. Tran et Dall'ava du G.R.M.P (RMN).

Références

- (1) Q. THOMPSON, J. Amer. Chem. Soc., 83, 845 (1961).
- (2) E. WASSERMAN, R.W. MURRAY, M.L. KAPLAN et W.A. YAGER, ibid. 90, 4160 (1968).
- (3) R.W. MURRAY, Organic Chemistry vol 40 p. 93, H.H. WASSERMAN et R.W. MURRAY édit. Acad. Press New York (1979).
- (4) P.D. BARTLETT et G.D. MENDENHALL, J. Amer. Chem. Soc., 92, 210 (1970). A.P. SCHAAP et P.D. BARTLETT, ibid 92, 6055 (1970). P.D. BARTLETT et A.P. SCHAAP, ibid. 92, 3223 (1970).
- (5) C. BUI CONG, G. GENCE, B. GARRIGUES, M. KOENIG et A. MUNOZ, Tetrahedron 1825, 35 (1979).
- (6) P.D. BARTLETT, G.D. MENDENHALL et D.L. DURHAM, J. Org. Chem., 45, 4269 (1980).
- (7) L.M. STEPHENSON, D.E. Mc CLURE, J. Amer. Chem. Soc., 95, 3074 (1973).
- (8) A.P. SCHAAP, K. KEES et A.L. THAYER, J. Org. Chem., 40 (8) 1185 (1975).
- (9) M.E. BRENNAN Chem. Comm.956 (1970).

(Received in France 11 November 1981)